

## تأثير المقطع العرضي للتأين على الامتصاص المحتث في بلورة $\text{Bi}_{12}\text{SiO}_{20}$

تاريخ القبول: 2015/2/23

تاريخ الاستلام: 2014/12/24

حيدر كامل حنون  
جامعة القادسية-كلية التربية-قسم الفيزياء  
E-mail\hayder\_968888@yahoo.com  
عبد الحسين عباس خضير  
جامعة القادسية-كلية التربية-قسم الفيزياء

### الخلاصة:

يهدف البحث الى دراسة تأثير المقطع العرضي للتأين (S1) على الامتصاص المحتث في بلورة البزموت سيليكات اوكسايد ( $\text{Bi}_{12}\text{SiO}_{20}$ ) بعد تعريضها الى اشعاع ليزري ذو الاطوال الموجية 633nm,532nm وقد تم اقتراح نموذج نظري لتوضيح النتائج العملية التي تم الحصول عليها مختبريا ,حيث اخذت قيم مختلفة للمقطع العرضي في النموذج النظري وتم ملاحظة مدى تأثيرها على نسبة الشدة النافذة الى الشدة الساقطة (I/I0).

**الكلمات المفتاحية:** بلورات BSO, الظاهرة الفوتولونية, الامتصاص الضوئي المحرض, المواد الكاسرة للضوء

Physics classification : QC 170-197

### المقدمة:

تعتبر البلورات الكاسرة للضوء  $\text{Bi}_{12}\text{M}(\text{M}=\text{Si},\text{Ge},\text{Ti})\text{O}_{20}$  موصلات ضوئية ممتازة نظرا لحساسيتها العالية للضوء واحتوائها على نواقل الشحنات وبهذا تعتبر من افضل المواد الكاسرة للضوء استخداما في دراسة الظاهرة الفوتولونية [1].

أن سبب الظاهرة الفوتولونية يتمثل بعودة الالكترونات الى المستويات الموجودة داخل ثغرة الطاقة المحصورة للبلورة التي تكون لها مقاطع عرضية مختلفة [2]. ان الظواهر الفوتولونية تظهر بشكل واضح في البلورات الكاسرة للضوء (بلورات البزموت تيتانيوم والسليكون أوكسايد) نظرا لحساسيتها العالية للأشعاع الليزري في منطقة أطيف المرئي وان تأثير الأشعاع عند منطقة الطيف المرئي والفوق بنفسجي على هذه البلورات ينتج عنه

الظاهرة الفوتولونية [3,4]. ان خواص الطيف الناتج من الامتصاص المحتث يعتمد على نوع وتركيز الشوائب و أعيوب البلورية [5,6], حيث ان الامتصاص المحتث في بلورة البزموت سيليكات اوكسايد يرتبط بالمستويات الموجودة في ثغرة الطاقة المحصورة للبلورة ففي بادئ الامر يتم تحريض الالكترونات من حزمة التكافؤ الى حزمة التوصيل ثم الى المستويات الموجودة في ثغرة الطاقة المحصورة وبعد ذلك العودة الى حزمة التكافؤ حيث يبقى الالكترونون في بعض المستويات لعدة ساعات وقد يتم تسريع عودته الى حزمة التكافؤ في عملية تسمى الاسترخاء (relaxation) [7,8]. الليزرات المستخدمة في إثارة البلورة عادة ما تعمل في حدود البيكو للنبضات المستخدمة والنانو ثانية حيث يتم الحصول على الخصائص الطيفية [9].

### الجانب النظري:

أن النموذج النظري المقترح هو النموذج ذو المستويات الاربعة حيث يمكن استخدام انواع مختلفة من النماذج النظرية للتحقق من النتائج العملية وفي هذا البحث تم استخدام النموذج التالي لبحث تأثير المقطع العرضي على الامتصاص المحتث. ان المخطط المعقد لمستويات الطاقة في بلورة اليزموث سيليكون او كسايد يعطى الشكل 1 .

$$\alpha = S_1 * N_1$$

$$I/I_0 = e^{-\alpha * L}$$

$$\frac{\partial N_0}{\partial t} = bI^2 + N_1 \cdot I_1 \cdot S_1 + N_2 \cdot I_1 \cdot S_2 - R_{41} \cdot N_0 (N_1 + N_2 + N_0) - R_{43} \cdot N_0 (M_3 - N_0) \dots (1)$$

$$\frac{\partial N_2}{\partial t} = -N_2 \cdot I_1 \cdot S_2 + R_{32} \cdot N_1 (M_2 - N_2) - R_{21} [N_2 (N_1 + N_2 + N_0)] \dots (2)$$

حيث يمثل  $N_0$  تركيز الالكترونات في حزمة التوصيل,  $N_1, N_2$  تركيز الالكترونات في المستويات (الفخاخ) في ثغرة الطاقة المحصورة  $M_2, M_3$  , تمثلان التركيز الكلي في المستويات (الفخاخ) ,  $b$  يمثل معامل الامتصاص لفوتونين ,  $S_1, S_2$  يمثلان المقاطع العرضية للتأين في المستويات (الفخاخ) في ثغرة الطاقة المحصورة ,  $R_{41}, R_{43}, R_{32}, R_{21}$  تمثل معامل توطين الالكترونات والفجوات في مستويات الطاقة, بينما  $I_1$  تمثل الشدة. يلاحظ من المعادلات اعلاه بان المعادلة رقم (2)

هي المسئولة عن عملية ديناميكية الامتصاص المحتث وعودة الالكترونات سريعا الى حزمة التكافؤ لذلك سوف يتم حلها وايجاد تغير نسبة الشدة النافذة الى الشدة الساقطة مع الزمن وبحث تأثير المقطع العرضي للتأين على النسبة اي على عملية الامتصاص. فتصبح المعادلة (2) بالشكل

$$\frac{\partial N_1}{\partial t} = -R_{31} N_1 (N_0 + N_2 + N_1) \text{ التالي:}$$

$$N_1 = 1 / (N_{10} + R_{31} \cdot t)$$

وبالتالي فان معامل الامتصاص يعطى بالشكل التالي نتائج نظرية ومقارنتها بالنتائج العملية حيث ان الطول الموجي المستخدم في عملية التحريض للالكترونات في بلورة اليزموث سيليكون او كسايد هو 532 نانو متر والليزر المستخدم (ليزر النديميوم ياك) هو من نوع البيكو ثانية وعرض النبضة الليزرية هي 70 بيكو ثانية والطاقة المستخدمة للنبضة الواحدة هي 5 ملي جول وللحصول على النتائج العملية تم اضاءة البلورة باستخدام الليزر (ليزر النديميوم ياك وليزر الهيليوم نيون) بنفس الوقت حيث يتميز ليزر الهيليوم نيون بقدرته الواطنة وهو يساعد بشكل عام على سيطرة انتقال الالكترونات بين

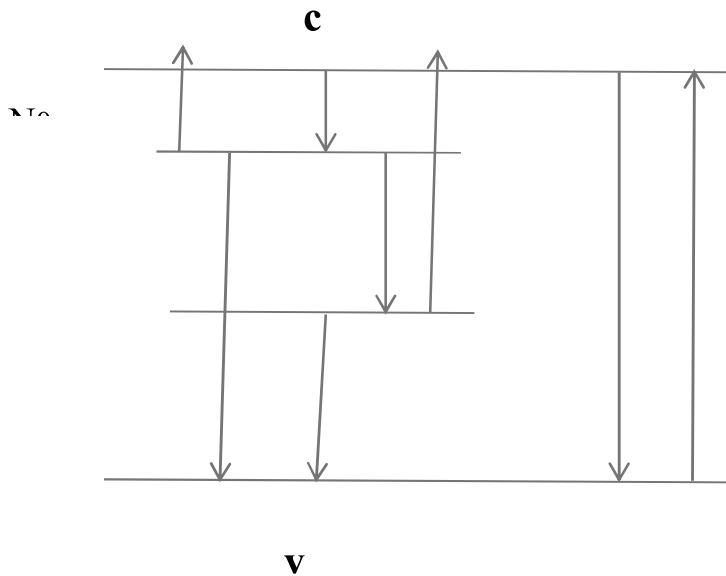
### الجانب العملي:

في العمل الحالي تم بحث تأثير المقطع العرضي على الأمتصاص المحتث باستخدام ليزر نبضي هو ليزر النديميوم ياك ليزر وليزر الهيليوم نيون حيث ان وظيفة ليزر النديميوم ياك هو لتحريض الالكترونات في البلورات الكاسرة للضوء من الانتقال من مدار الى اخر اما وظيفة ليزر الهيليوم نيون هو للسيطرة على عملية انتقال الالكترونات. لقد استخدم نموذج رياضي للحصول على

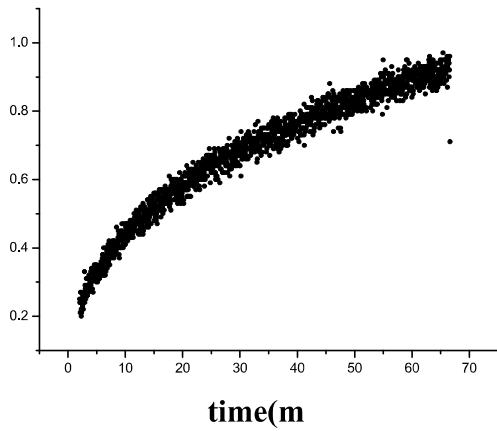
المدارات وبعد خروج الاشعاع من البلورة يتم التقاطه حيث يتم تحويل الضوء الخارج الى اشارات كهربائية باستخدام الاوسيليسكوب الذي يعمل بتردد 15 هيرتز ويتم تخزين البيانات وبعد ذلك تتم معالجتها والحصول على تغير معامل الامتصاص مع الزمن. ان زمن بقاء الاكترونات في هذه المستويات يعتمد بالدرجة الاساس على نوع

### النتائج والمناقشة:

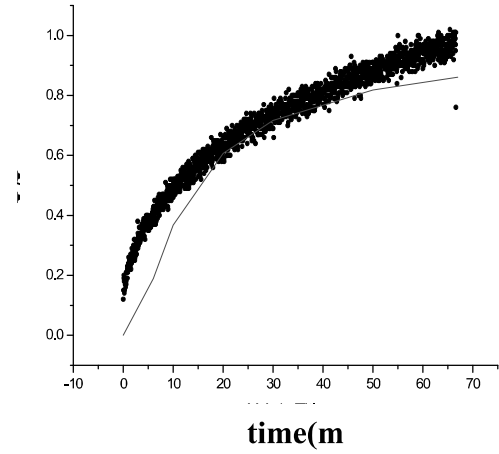
تم استخدام برنامج ماثكاد 14 للحصول على النتائج النظرية ,ومختبريا تم الحصول على النتائج العملية وتم توضيح تأثير المقطع العرضي للتأين على الامتصاص المحتث مع الأخذ بنظر الاعتبار بأن قيم  $R_{31}$ ,  $N_{10}$  هي  $1ms$ ,  $6*10^{-10}$  على التوالي . يلاحظ من الشكل (3) ان نسبة الشدة النافذة الى نسبة الشدة الساقطة ( $I/I_0$ ) في البداية تكون عالية عندما يكون  $S_1$  مساويا الى 10 بينما تبتعد النسبة ( $I/I_0$ ) تدريجيا وتقل عندما يكون  $S_1$  مساويا الى 10.5 كما هو مبين في الشكل(4). يلاحظ من الشكل(5) تستمر النسبة بالانخفاض مما يؤكد صحة النموذج النظري المقترح وامكانية استخدامه في تفسير النتائج العملية.



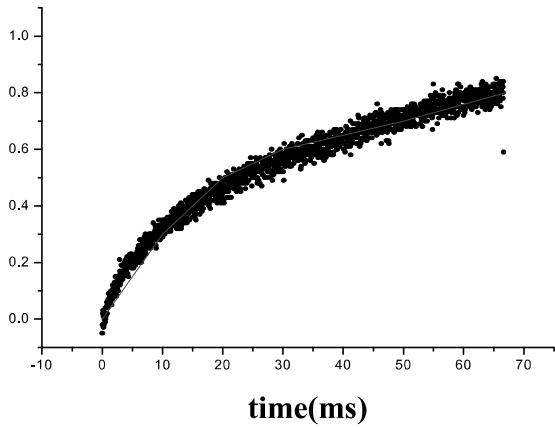
شكل(1) مخطط توضيحي لمستويات الطاقة في بلورة البزموت سيليكون  
او كسايد ( $Bi_{12}SiO_{20}$ )



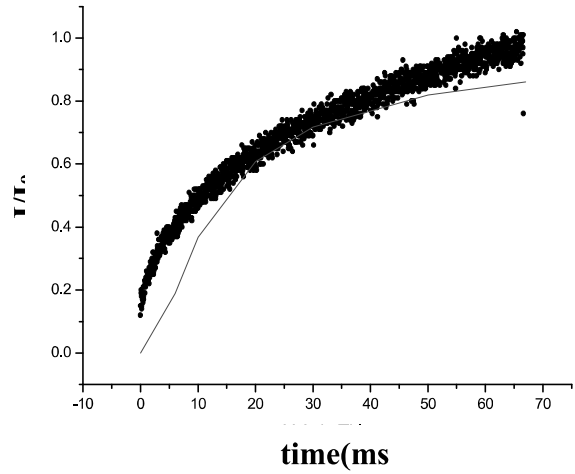
شكل (2) التغير الحاصل في الشدة النافذة الى الشدة الساقطة نتيجة الامتصاص المحتث مع الزمن



شكل (3) تغير نسبة الشدة مع الزمن عند



شكل (4) تغير نسبة الشدة مع الزمن عند  $S_1$



شكل (5) تغير نسبة الشدة مع الزمن عند  $S_{1=10}$

الاستنتاجات:-

نستنتج من النموذج النظري المقترح بأن زيادة المقطع العرضي للتأين يؤدي الى النقص في النسبة (I/I0) بثبوت معامل توطين الالكترونات في المستويات الموجودة في

المصادر:

- 1.G. Caroena, M. Mori, M. R. R. Gesualdi, E. A. Liberti, E. Ferrara, and M. Muramatsu, J. Biomech., 43, 680-686 .((2010)
2. Kobozev O. V., Shandarov S . M., Kamshilin A. A., Prokofiev V. V. // J. Opt. A: Pure Appl. Opt. 1999 .Vol. 1. №4. P. 442.
3. Каргин Ю. Ф., Бурков В. И., Марьин А. А., Егорышев А. В.  
Кристаллы  $\text{Bi}_{12}\text{MxO}_{20\pm\delta}$  со структурой .силленита. Синтез, строение, свойства. М., 2005
4. Малиновский В. К., Гудаев О. А., Гусев В. А., Деменко С. И.

ثغرة الطاقة المحظورة للبلورة وامكانية استخدام هذا النموذج النظري في تفسير النتائج العملية وتبيان صحتها.

- Фотоиндуцированные явления в силленитах. Новосибирск, 1990
5. Веретенников С. Ю., Мандель А. Е., Шандаров С. М. и др. // Изв. вузов. Физика. 2003. №2. С. 39
  6. Marina V., Lin S. H., Sainov V. et al. // Ibid. 2003. Vol. 5. P. S500
  7. Мартыянов А. Г., Агеев Е. Ю., Шандаров С. М. и др. // Квант. электроника. 2003. Т. 33. С. 226
  8. Matusevich A., Tolstik A., Kisteneva M. et al. // Applied Physics B. 2009. Vol. 96. №1. P. 119
  9. Станкевич А. В., Толстик А. Л., Хайдер Х. К. // Письма в ЖТФ. 2011. Т. 37. №16. С. 7.

## Bi<sub>12</sub>SiO<sub>20</sub> Crystal

Received : 24/12/2014

Accepted :23/2/2015

Haider Kamil Hanoon  
Qadissiyah University- college of Education- Department of Physics  
E-mail\hayder\_968888@yahoo.com  
Abdulhussain A.Kadayeir  
Qadissiyah University- college of Education- Department of Physics

### **Abstract:**

This research aims to study the effect of cross section ionization (S1) on the photoinduced absorption in the bismuth silicate oxide crystal (Bi<sub>12</sub>SiO<sub>20</sub>) after it exposure to the laser with wavelengths (532nm, 633nm) and it is assumed that the theoretical model is to explain the experimental results that will get in laboratory ,where we take different values for cross section ionization in theoretical model and we noticed how it affects on the ratio(I/I<sub>0</sub>) of transmitting intensity and incident intensity.

**Keywords** : BSO crystals, photochromic effect, photoinduced absorption, photorefractive materials